

UNIVERSIDAD DE BUENOS AIRES
FACULTAD DE CIENCIAS EXACTAS Y NATURALES
DEPARTAMENTO DE FÍSICA



LABORATORIO 3

Circuitos de Corriente Continua

Autores:

ANDREU, Gonzalo
MALPARTIDA, Bryan
PUGLIESE, Facundo

10 de Febrero de 2016

Resumen

Este trabajo está centrado en el estudio de una serie de fenómenos fundamentales presentes en los circuitos eléctricos. Utilizando distintos circuitos compuestos por fuentes de voltaje constante y resistencias, tanto constantes como variables, los experimentos realizados tuvieron como objetivo comprobar empíricamente primero la Ley de Ohm para un circuito de malla única. Para un circuito más complejo de dos mallas se comprobaron las Leyes de Kirchhoff, la Ley de Joule y el Teorema de Thevenin, además de estudiar el comportamiento de la eficacia del circuito para distintas resistencias.

1. Introducción

Para llevar a cabo el objetivo de este trabajo es necesario comprender los siguientes conceptos:

Para empezar, segun el fenómeno determinado ley de Ohm [1], si una fuente ε y una resistencia R forman un circuito cerrado, la corriente eléctrica i que circula por la resistencia se obtiene con:

$$i = \frac{\varepsilon}{R} \quad (1)$$

Si se define una rama como todo conjunto de elementos conectados en serie y un nodo como la intersección de tres o mas rama; para todo nodo vale:

$$\sum_e i_e - \sum_s i_s = 0 \quad (2)$$

Donde se ve que la suma de corrientes i_e entrantes al nodo es igual a la suma de corrientes i_s salientes del mismo. A este fenomeno se lo conoce como la ley de Kirchhoff de los nodos [1].

Por otro lado; el teorema de Thevenin [1] enuncia que si se desea conocer el comportamiento de un circuito entre dos terminales A y B , el resto del circuito puede reemplazarse por una rama que consiste de una resistencia equivalente R_{th} y una fuente equivalente ε_{th} .

La resistencia R_{th} se calcula desconectando las fuentes y resolviendo el sistema de resistencias que se obtiene entre las terminales. Por otro lado, la fuente equivalente ε_{th} se obtiene calculando la diferencia de potencial entre A y B . Un caso particular de esto es el que muestra la **Figura 1**

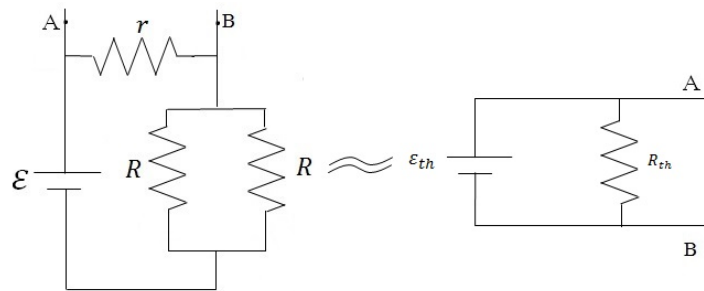


Figura 1: Caso particular de un circuito utilizado para calcular su equivalente de Thevenin

Donde R_{th} y ε_{th} de este circuito son:

$$R_{th} = \frac{rR}{2r + R} \quad (3)$$

$$\varepsilon_{th} = \frac{2\varepsilon r}{2r + R} \quad (4)$$

Por ultimo, para poder calcular la potencia disipada por una resistencia R , la ley de Joule [1] determina la siguiente ecuación:

$$P = i^2 R \quad (5)$$

Donde la i es la corriente que pasa por la resistencia.

De esta forma, si se coloca una resistencia de carga R_v en paralelo con una resistencia de un circuito, y calculando su respectivo equivalente de Thevenin, se puede obtener la potencia disipada por R_v como:

$$P_{R_v} = \frac{\varepsilon_{th}^2 R_v}{(R_v + R_{th})^2} \quad (6)$$

Una curva acampanada cuyo máximo debería encontrarse en $R_{max} = R_{th}$.

Sin embargo, máxima disipación no implica máxima eficiencia. Por lo tanto, se define la eficacia como el cociente entre la potencia disipada por una resistencia R y la potencia entregada por una fuente ε :

$$E = \frac{P_R}{P_\varepsilon} \quad (7)$$

Por lo tanto, si se quiere conocer la eficacia de una resistencia R se puede calcular su equivalente de Thevenin para obtener la relación:

$$E = \frac{\varepsilon_{th}}{\varepsilon} \frac{1}{1 + \frac{R_{th}}{R}} \quad (8)$$

2. Desarrollo experimental

2.1. Ley de Ohm

Como se ha dicho, una de las leyes básicas de los circuitos en general es la Ley de Ohm (1). Es por esto que la primer parte del trabajo se desarrolló en torno a su comprobación empírica para circuitos de corriente continua. El montaje del sistema fue simple, consistiendo en una Fuente de Alimentación Programable de 3 canales, un multímetro digital y una resistencia variable por décadas. La Fuente de Alimentación actuó como una fuente de voltaje constante, que se conectó en serie con el multímetro y la resistencia variable. Esto permitió generar un circuito de una única malla que consiste en una resistencia y una fuente de voltaje constante (Ver Fig 2).

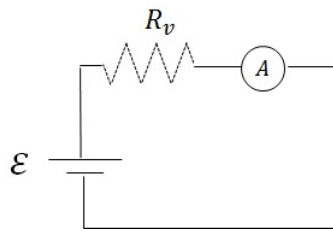


Figura 2: Circuito de malla única utilizado para la experiencia

La resistencia del multímetro utilizado en su función de amperímetro era $R_A = (11,8 \pm 0,4)\Omega$, la cual debió sumarse a la resistencia variable R_v (pues están en serie) a la hora de calcular la resistencia total del circuito. La resistencia interna de la Fuente se asumió despreciable. Para empezar, se fijó la resistencia variable $R_v = (500 \pm 5)\Omega$ y se fue variando el voltaje de entrada ε , registrándose la corriente I resultante para cada valor de ε . Posteriormente, utilizando el mismo circuito se planteó analizar la relación entre I y R fijando el voltaje de la fuente a $\varepsilon = (15,0 \pm 0,1)V$ y variando la resistencia total $R = R_v + R_A$ a través de R_v .

2.2. Equivalente de Thevenin y Ley de Joule

Terminado lo anterior, se propuso montar otro circuito con dos mallas con el primer objetivo de medir sus corrientes de rama y compararlas con el resultado teórico esperado. Se utilizaron dos resistencias $R = (1000,0 \pm 0,5)\Omega$ y una resistencia $r = (100,00 \pm 0,05)\Omega$, mientras que la fuente de voltaje $\varepsilon = (5,00 \pm 0,05)V$ fue generada nuevamente por la Fuente de Alimentación Programable, unidos por cables como se ve en el circuito de la Fig 3.

Inicialmente, se utilizaron las ecuaciones (1) y (2) para resolver el circuito mediante el método de ramas para obtener el valor de las corrientes i_1 , i_2 e i_3 en base a los parámetros.

Luego se ubicó el multímetro en las posiciones A_1 , A_2 y A_3 (Ver Fig 3) para medir las corrientes i_1 , i_2 e i_3 respectivamente, considerando despreciable la resistencia interna del multímetro.

Posteriormente, se buscó calcular el equivalente de Thevenin en forma teórica a través de los parámetros R , r del circuito y ε usando (3) y (4) para obtener la resistencia y la fuente equivalente

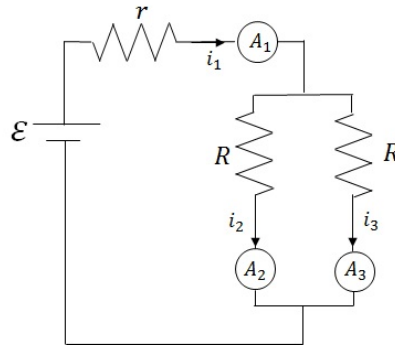


Figura 3: Circuito de dos mallas utilizado para la experiencia, los A_i representan los lugares donde se ubicó el multímetro

vista desde las terminales A y B, entre las cuales se conectó una resistencia de carga $R_q = R_v + R_A$ (ver Fig 4), donde R_v es la resistencia variable por décadas y R_A es la resistencia propia del amperímetro.

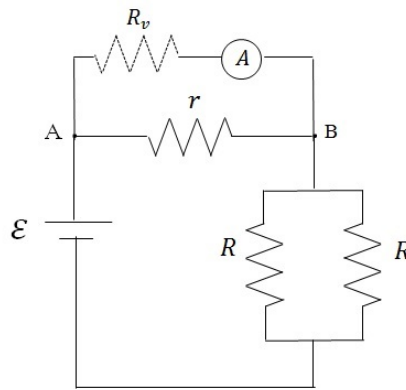


Figura 4: Circuito de dos mallas con la resistencia de carga acoplada

Conectando el multímetro en paralelo en las terminales A y B se midió la diferencia de potencial ΔV_{AB} y la resistencia R_{AB} entre ambas terminales.

Una vez hecho esto, fue posible conectar una resistencia de carga R_v representada por una resistencia variable por décadas en serie con el multímetro en modo amperímetro. El objetivo fue medir la corriente I para distintos valores de R_v y en base a ambas magnitudes calcular la potencia P disipada por R_q a través de (5) buscando relevar la curva acampanada $P(R_v)$.

3. Resultados

3.1. Ley de Ohm

Los resultados de la primer medición con la resistencia $R = (512 \pm 5)\Omega$ constante pueden verse en la Figura 5, cuyo ajuste lineal arroja una pendiente $m_1 = (1,979,10^{-3} \pm 5,10^{-6})\Omega^{-1}$ y una ordenada $b_1 = (-0,23 \pm 0,03)mA$ muy cercana a cero con un $R - square = 0,99995$, que asegura la bondad del ajuste. Siguiendo (1), se esperaría que la pendiente $m_1 = (1,979,10^{-3} \pm 5,10^{-6})\Omega^{-1}$ fuera igual a $\frac{1}{R}$. Efectivamente, resulta $\frac{1}{m_1} = (505,3 \pm 1,3)\Omega$, el cual se acerca mucho a $R = (512 \pm 5)\Omega$.

Luego, con las mediciones correspondientes a un voltaje constante, se decidió realizar un gráfico que relacionara las corrientes medidas con el inverso de las resistencias seleccionadas, de esa forma, si se cumple la ley de Ohm, debería haber una correspondencia lineal entre esos pares de valores. Como se puede ver en la Figura 6 se confirma lo esperado, ya que una vez realizado un ajuste lineal, nos arroja un $R - square = 0,99998$.

Cabe destacar, que para resistencias suficientemente altas, las corrientes resultantes deberían estar por debajo del límite de resolución de cualquier instrumento de medición; por lo cual, es consistente que el ajuste arroje una intersección con el eje de ordenadas muy cercano al 0. Efectivamente

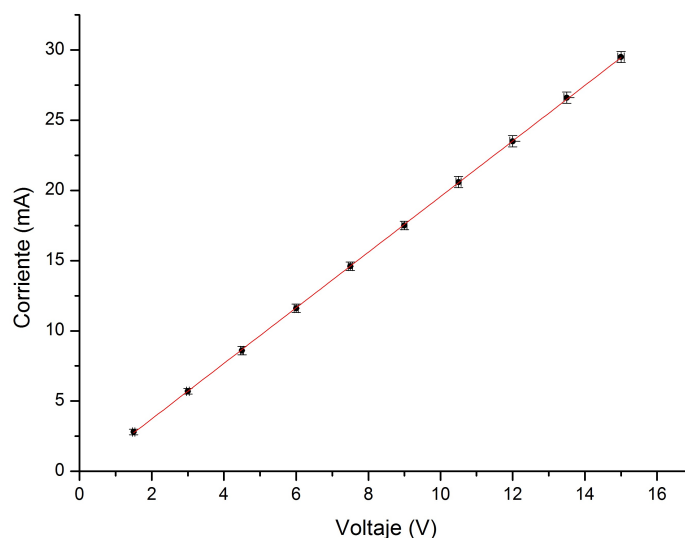


Figura 5: Relacion entre Voltaje (ϵ) y Corriente (I)

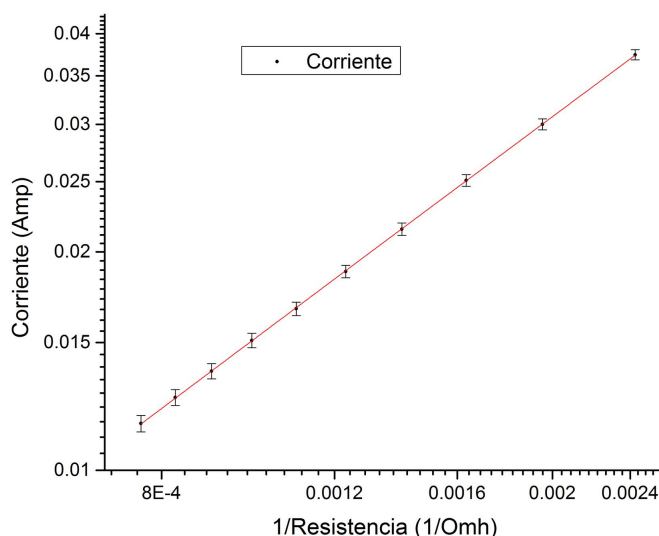


Figura 6: Relacion entre el inverso de Resistencia ($1/R$) y Corriente (I)

el valor obtenido es de $b = (-0,23 \pm 0,03)mA$. Adicionalmente, segun la ecuacion (1) se esperaria que la pendiente de esta recta fuera el voltaje de entrada. En este caso resulta ser ligeramente superior con un valor $m_2 = (15,4 \pm 0,2)V$

3.2. Equivalente de Thevenin y Ley de Joule

De las mediciones y calculos hechos de las corrientes A_1 , A_2 y A_3 puede verse, en la **Tabla 1**, que los valores obtenidos con ambos metodos coinciden dentro del error.

Corriente	Valor	
	Teórico (mA)	Medido (mA)
i_1	$8,33 \pm 0,09$	$8,3 \pm 0,3$
i_2	$4,17 \pm 0,05$	$4,2 \pm 0,2$
i_3	$4,17 \pm 0,05$	$4,1 \pm 0,2$

Tabla 1: Valores obtenidos de las corrientes mediante cálculo (teórico) y medición directa

Luego, a través del cálculo del equivalente de Thevenin se obtuvieron los parámetros equivalentes $\varepsilon_{th} = (0,83 \pm 0,08)V$ y $R_{th} = (83,3 \pm 0,7)\Omega$. Cabe aclarar que en este cálculo no intervinieron las corrientes previamente calculadas, si no que se utilizó directamente su dependencia con los parámetros del circuito. Alternativamente, mediante medición directa se obtuvo $\Delta\varepsilon_{AB} = (0,84 \pm 0,06)V$ y $R_{th} = (83,4 \pm 0,6)\Omega$, valores que resultan indistinguibles dentro del error de los anteriormente calculados.

De los datos obtenidos se tiene el gráfico de la **Figura 7** donde se puede observar que el comportamiento de la potencia entregada por el circuito esta dentro de los parámetros esperados. Luego, realizando un ajuste, se obtiene una resistencia máxima $R_{max} = (78,5 \pm 0,8)\Omega$ y un voltaje $\varepsilon = (0,74 \pm 0,01)V$ ambos muy cercanos a los valores de Thevenin calculados anteriormente. Sin embargo, el coeficiente $\chi^2_{red} = 0,01362$ muestra una enorme sobreestimación de los errores, visible ya en la **Figura 7**.

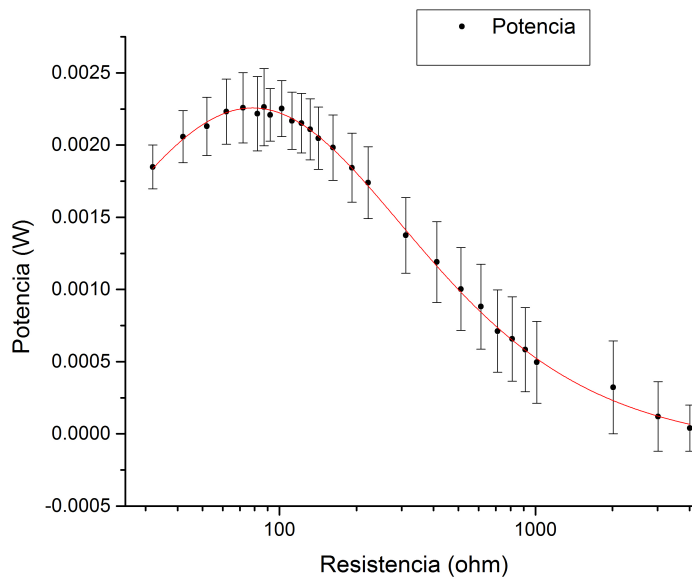


Figura 7: Relacion entre la potencia disipada y el valor de la resistencia de carga

Finalmente, se calculo la eficacia con la cual se traspasaba la potencia de nuestro circuito sobre la carga. En el grafico de la **Figura 8** se ve que hay una tendencia creciente pero que en los ultimos puntos se empieza a dispersar.

Desestimando los puntos en cuyos calculos contenian corrientes con incertezas comparables con su valor, el ajuste realizado utilizando (8) arroja un $\chi^2_{red} = 0,00155$ que indica la ya notoria exageración de los errores obtenidos debido a la propagación de errores.

En resumen, los distintos valores obtenidos de R_{th} y ε_{th} con los distintos métodos se pueden ver en la **Tabla 2**.

Magnitud	Valor		
	Teórico	Medido	Ajustado
R_{th}	$(83,3 \pm 0,7)\Omega$	$(83,4 \pm 0,6)\Omega$	$(78,5 \pm 0,8)\Omega$
ε_{th}	$(0,83 \pm 0,08)V$	$(0,84 \pm 0,06)V$	$(0,74 \pm 0,01)V$

Tabla 2: Valores obtenidos para el equivalente de Thevenin mediante cálculo (teórico), medición directa y ajuste de curva de potencia

4. Conclusiones

En conclusión, los resultados obtenidos en la sección referente a la Ley de Ohm resultan consistentes. Aunque la forma funcional de (1) queda bien comprobada en los graficos de las **Figuras 5 y 6**, los ajustes arrojan parámetros que no resultan equivalentes a los del sistema. El parámetro

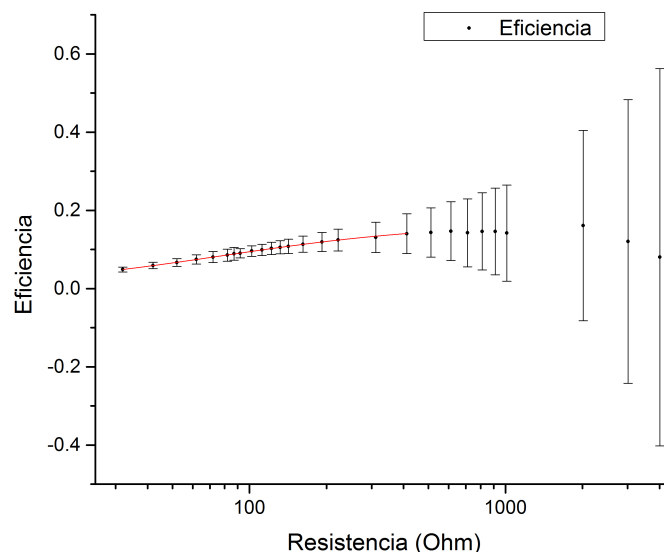


Figura 8: Relación entre la eficacia de la entrega de potencia y el valor de la resistencia de carga

$\frac{1}{m_1} = (505,3 \pm 1,3)\Omega$ arrojado por la **Figura 5** no resulta indistinguible a $R = (512 \pm 5)\Omega$, aunque la diferencia es muy pequeña y puede considerarse despreciable frente a las magnitudes manejadas. Para el caso del parámetro $m_2 = (15,4 \pm 0,2)V$ arrojado por la **Figura 6** la situación resulta similar al caso anterior frente al parámetro del sistema $\varepsilon = (15,0 \pm 0,1)V$. En este caso, sin embargo, el error puede deberse a que algunas de las corrientes medidas eran menores a $15mA$, lo cual se acerca al límite de resolución del instrumento.

Empezando con la sección de Thevenin, la **Tabla 1** permite ver que las corrientes i_1 , i_2 e i_3 medidas y teóricas son indistinguibles dentro del error, por lo que puede asumirse que la relación dictada por las Leyes de Kirchoff de las ecuaciones (1) y (2). Por lo tanto, el método de ramas fue usado validamente.

Como puede verse en la **Tabla 2**, los valores de E_{th} y R_{th} para el caso de medición directa y cálculo teórico son indistinguibles dentro del error y, por ende, son iguales. Sin embargo, los valores obtenidos mediante el ajuste de la **Figura 7** difieren notoriamente de los anteriores. Observando los ordenes de magnitud manejados en la **Figura 7** puede notarse que los valores de potencia disipada son menores a $3mW$. Esta baja potencia deviene realmente de los bajos valores de corrientes medidas, que se ubicaron en el intervalo $[0,1mA; 7,6mA]$ con un error mínimo de $0,2mA$, por lo que gran parte de las corrientes medidas se encontraban muy cerca del límite de resolución del multímetro, por lo que las fluctuaciones y el ruido del instrumento generan incertezas muy altas no contempladas por el error asignado. Esto acarreado con el error al calcular la potencia genera una enorme brecha entre el valor esperado (y medido) y el valor obtenido. El coeficiente $\chi^2_{red} = 0,01362$ obtenido en el ajuste de la **Figura 7** es un claro reflejo de este problema, pues al ser tan pequeño frente a 1 indica una sobrestimación de errores. Por lo tanto, si nos concentramos en los dos primeros valores, que se obtienen en forma más directa, tenemos una comprobación empírica del teorema de Thevenin.

A la hora de analizar la eficiencia en la **Figura 8**, nuevamente el coeficiente $\chi^2_{red} = 0,00155$ previene sobre una enorme sobrestimación de errores, acarreado principalmente del cálculo de la potencia (como se ha visto en el párrafo anterior). Aún desestimando los puntos provenientes de las corrientes más bajas, el error propagado resulta tan grande que resulta difícil asegurar que el ajuste es el correcto.

5. Referencias

- [1] Felix Rodriguez Trelles, *Temas de Electricidad y Magnetismo*, 1984, Editorial EUDEBA